

УДК 535.548.0

**КРИСТАЛЛОГРАФИЧЕСКИЙ  
И ТЕОРЕТИКО-ГРУППОВОЙ АНАЛИЗ ПАР  
ПРИМЕСНЫХ ИОНОВ В КРИСТАЛЛАХ СО СТРУКТУРОЙ  
ГРАНАТА**

*B. E. Найш, Б. А. Мень и А. Н. Мень*

Дан полный кристаллографический и теоретико-групповой анализ пар примесных парамагнитных ионов в гранате. Результаты сведены в компактные таблицы и могут быть использованы при расшифровке экспериментальных статических спектров. Отмечено, что в гранатах порядок пары часто еще не определяет однозначно ее симметрию и ее разрешение терма.

В работе [1] описана общая схема определения разрешенных термов пары по известным термам самих примесных ионов. При этом считаются заданными структура кристалла и сорт примесных ионов. Развитая процедура была применена для анализа спектров в кристаллах со структурой NaCl, корунда [2], а сами результаты кристаллографического и теоретико-группового анализа пар в таких структурах были даны в [2] в виде компактных таблиц. В настоящей работе приводятся результаты такого анализа для кристаллов со структурой граната, которые должны содействовать расшифровке экспериментальных спектров в таких кристаллах.

Большинство процедурных вопросов, связанных с анализом пар в гранате, а также все обозначения целиком аналогичны тем, которые подробно обсуждались в [2]. Поэтому здесь мы уделим внимание лишь специфическим для граната вопросам.

**Кристаллографический анализ структуры  
граната**

В структуре граната для примесных катионов имеется три кристаллографические разных позиции: октаэдрическая (O), тетраэдрическая (T) и додекаэдрическая (D). В зависимости от химической сортности примесных ионов они могут находиться либо только в одной (O, T или D) позиции, либо в двух (T и O, T и D, O и D), либо во всех трех (O, T и D). Приведенные таблицы составлены так, что они пригодны для любого из этих 7 типов распределений.

Пространственная группа граната *Ia3d*. Октаузлы соответствуют в этой группе позиции 16 (a) с кубическими координатами

$$0:000, 0 \frac{1}{2} \frac{1}{2}, \frac{1}{2} 0 \frac{1}{2}, \frac{1}{2} \frac{1}{2} 0, \frac{1}{4} \frac{1}{4} \frac{1}{4}, \frac{1}{4} \frac{3}{4} \frac{3}{4}, \frac{3}{4} \frac{1}{4} \frac{3}{4},$$

$$\frac{3}{4} \frac{3}{4} \frac{1}{4} + \left\{ 000, \frac{1}{2} \frac{1}{2} \frac{1}{2} \right\};$$

тетраузлы соответствуют позиции 24 (d)

$$T: \pm \left\{ \frac{3}{8} 0 \frac{1}{4}, \frac{1}{4} \frac{3}{8} 0, 0 \frac{1}{4} \frac{3}{8}, \frac{1}{8} 0 \frac{3}{4}, \frac{3}{4} \frac{1}{8} 0, 0 \frac{3}{4} \frac{1}{8} \right\} + \left\{ 000, \frac{1}{2} \frac{1}{2} \frac{1}{2} \right\};$$

додекаузлы соответствуют позиции 24 (c)

$$D: \pm \left\{ \frac{1}{8} 0 \frac{1}{4}, \frac{1}{4} \frac{1}{8} 0, 0 \frac{1}{4} \frac{1}{8}, \frac{3}{8} 0 \frac{3}{4}, \frac{3}{4} \frac{3}{8} 0, 0 \frac{3}{4} \frac{3}{8} \right\} + \left\{ 000, \frac{1}{2} \frac{1}{2} \frac{1}{2} \right\}.$$

Локальная симметрия этих узлов описывается точечными группами. Для октаузла — 3, для тетраузла — 4, для додекаузла — 222.

Ниже приводятся таблицы последовательных координационных сфер и слоев. Для октаузла это табл. 1, а табл. 2 и 3 для тетра- и додекаузла совмещены для экономии места. Если брать в записи координат верхние знаки, то имеем табл. 2 для тетраузла, а если взять нижние знаки и всюду произвести замену  $T \leftrightarrow \bar{D}$ , то получим табл. 3 для додекаузла. В графах 1—3 этих таблиц указаны номер каждой сферы, ее радиус  $d_i$ , количество населяющих ее атомов  $z_i$ , а в графе 4 описан послойный состав сферы, т. е. указано, сколько узлов и какого сорта (О, Т или Д) входит в каждый слой сферы ( $\sum_{\alpha} m_{\alpha i} = z_i$ ), а также приведены относительные координаты  $x y u v z w$  одного атома — представителя слоя. Восстановление координат всех атомов этого слоя производится для табл. 1—3 с помощью матриц всех элементов точечных групп 3, 4 и 222 соответственно. Если обозначить указанные в графе 4 координаты одного представителя слоя через  $x y z$ , то координаты всех атомов этого слоя запишутся для табл. 1 в виде  $\{\pm x y z, x z y, y z x\}$ , для табл. 2 в виде  $\{x y z, x \bar{y} z, x \bar{z} y, x \bar{z} \bar{y}\}$  и для табл. 3 в виде  $\{x y z, x \bar{y} z, x z y, x \bar{z} \bar{y}\}$ . Табл. 1—3 ограничены максимальным радиусом сфер  $d_{\max} = a$ .

### Симметрия примесных пар в гранате

Из табл. 1—3 произведем выборку последовательных (в смысле увеличения  $d_i$ ) пар разного типа. Результаты сведены в табл. 4, в которой приводится также вся необходимая для дальнейшего информация по симметрии. Процедура нахождения всех точечных групп подробно выяснялась в [1, 2]. Табл. 4 пригодна для любого из 7 вариантов расселения примесей по узлам граната, т. е. для О-, Т-, Д-, ОТ-, ОД-, ТД- и ОТД-распределений. В любом из этих вариантов дано описание пар до  $i$ -го порядка включительно. Для пар О—О, Т—Т и Д—Д в графе 3 в 5кобках указан порядок этой пары при чистом О-, Т- или Д-распределении. Поскольку пары более высокого порядка не включены, то в целях сокращения таблицы в конце ее сделаны очевидные пропуски.

Особое внимание в случае граната следует обратить на то, что при заданном порядке пары симметрия (точечные группы), а значит и разрешенные термы пары, могут быть неоднозначны из-за слойности сфер. Во-первых, это имеет место из-за разных типов (О, Т или Д) слоев. Но даже при чистом распределении это явление встречается тоже. Например, при О-распределении пара уже 1-го порядка (!) имеет два ответа для симметрии, а следовательно, и для разрешенных термов см. пару О—О (1) в табл. 4. Ниже этот пример будет рассмотрен с точки зрения термов пары.

### Разрешенные термы примесных пар

Для проведения теоретико-групповой классификации состояний пары используем процедуру, изложенную в [1–2]. Разрешенные термы пар описаны в табл. 5—10 для пар типа О—О, Т—Т, Д—Д, О—Т, О—Д и Т—Д соответственно. Рассмотрим конкретный пример пары О—О типа 1-го порядка. Из-за слойности 4-й сферы октаузла имеется 2 типа таких пар, отличающихся симметрией. Рассмотрим термы для каждой из них в отдельности.

1. Cr<sup>3+</sup>—Cr<sup>3+</sup>. Оба иона находятся в состоянии  ${}^4G_{23g}$ . Группа симметрии пары  $G_k = 322$ . Согласно [2], это ситуация β, случай 1. Ищем  $\Gamma^I$  и  $\Gamma^{II}$ . Поскольку  $\Gamma_{23}$  — обычное не двузначное представление, то  $\Gamma^I$  приведено в табл. 5:  $\Gamma^I = 2\Gamma_1 + \Gamma_3$ . Для нахождения  $\Gamma^{II}$  берем сопряженные с  $\Gamma_1$ ,  $\Gamma_3$  представления. Из диаграмм индуцирования  $\gamma_1 \begin{cases} \Gamma_1 \\ \Gamma_2 \end{cases}$  и  $\gamma_{23} \begin{cases} \Gamma_3 \\ \Gamma_3 \end{cases}$  видно, что

$\gamma_1 \begin{cases} \Gamma_1 \\ \Gamma_2 \end{cases}$  и  $\gamma_{23} \begin{cases} \Gamma_3 \\ \Gamma_3 \end{cases}$

Таблица 1

Координационные сферы и слои октаузла ( $1/2 \ 1/2 \ 1/2$ ) граната

№ сфера	$d_i$	$z_i$	$x_B y_B z_B (m_{\alpha i}, \text{тип узла } B)$			
			1	2	3	4
1	$\sqrt{5}/8$	12	$\frac{1}{8} 0 - \frac{1}{4} (6, T);$	$\frac{1}{8} 0 \frac{1}{4} (6, D)$		
2	$\sqrt{12}/8$	8	$\frac{1}{4} \frac{1}{4} \frac{1}{4} (2, O);$	$\frac{1}{4} \frac{1}{4} - \frac{1}{4} (6, O)$		
3	$\sqrt{13}/8$	12	$\frac{3}{8} 0 \frac{1}{4} (6, T);$	$\frac{3}{8} - 0 \frac{1}{4} (6, D)$		
4	$\sqrt{16}/8$	6	$\frac{1}{2} 0 0 (6, O)$			
5	$\sqrt{21}/8$	24	$\frac{1}{2} \frac{1}{4} \frac{1}{8} (6, T);$	$\frac{1}{2} - \frac{1}{4} - \frac{1}{8} (6, T);$	$-\frac{1}{2} \frac{1}{4} - \frac{1}{8} (6, D);$	$\frac{1}{2} \frac{1}{4} - \frac{1}{8} (6, D)$
6	$\sqrt{29}/8$	36	$\frac{3}{8} \frac{1}{2} - \frac{1}{4} (6, T);$	$\frac{3}{8} - \frac{1}{2} - \frac{1}{4} (6, T);$	$\frac{5}{8} 0 - \frac{1}{4} (6, T);$	$\frac{5}{8} 0 \frac{1}{4} (6, D)$
			$\frac{3}{8} \frac{1}{2} \frac{1}{4} (6, D);$	$\frac{3}{8} - \frac{1}{2} \frac{1}{4} (6, D)$		
7	$\sqrt{32}/8$	12	$\frac{1}{2} \frac{1}{2} 0 (6, O);$	$\frac{1}{2} - \frac{1}{2} 0 (6, O)$		
8	$\sqrt{37}/8$	12	$\frac{3}{4} \frac{1}{8} 0 (6, T);$	$\frac{3}{4} - \frac{1}{8} 0 (6, D)$		
9	$\sqrt{44}/8$	24	$\frac{3}{4} \frac{1}{4} \frac{1}{4} (6, O);$	$\frac{3}{4} - \frac{1}{4} \frac{1}{4} (6, O);$	$\frac{3}{4} \frac{1}{4} - \frac{1}{4} (6, O);$	$\frac{3}{4} - \frac{1}{4} \frac{1}{4} (6, O)$
10	$\sqrt{45}/8$	36	$\frac{5}{8} \frac{1}{2} \frac{1}{4} (6, T);$	$\frac{5}{8} - \frac{1}{2} \frac{1}{4} (6, T);$	$\frac{3}{4} - \frac{3}{8} 0 (6, T);$	$\frac{3}{4} \frac{3}{8} 0 (6, D)$
			$\frac{5}{8} \frac{1}{2} - \frac{1}{4} (6, D);$	$\frac{5}{8} - \frac{1}{2} - \frac{1}{4} (6, D);$		
11	$\sqrt{48}/8$	8	$\frac{1}{2} \frac{1}{2} \frac{1}{2} (2, O);$	$\frac{1}{2} - \frac{1}{2} - \frac{1}{2} (6, O)$		
12	$\sqrt{53}/8$	36	$\frac{3}{4} - \frac{1}{8} - \frac{1}{2} (6, T);$	$\frac{3}{4} - \frac{1}{8} \frac{1}{2} (6, T);$	$\frac{7}{8} 0 \frac{1}{4} (6, T);$	$\frac{3}{4} \frac{1}{8} - \frac{1}{2} (6, D)$
			$\frac{7}{8} 0 - \frac{1}{4} (6, D);$	$\frac{3}{4} \frac{1}{8} \frac{1}{2} (6, D)$		
13	$\sqrt{61}/8$	36	$\frac{3}{4} \frac{5}{8} 0 (6, T);$	$\frac{3}{4} \frac{3}{8} - \frac{1}{2} (6, T);$	$\frac{3}{4} \frac{3}{8} \frac{1}{2} (6, T);$	$\frac{3}{4} - \frac{3}{8} - \frac{1}{2} (6, D)$
			$\frac{3}{4} - \frac{3}{8} \frac{1}{2} (6, D);$	$\frac{3}{4} - \frac{5}{8} 0 (6, D)$		
14	1	6	100 (6, O)			

Таблица 2 (3)

Координационные сферы и слой тетраузла ( $5/8 \ 1/2 \ 1/4$ ) и додекаузла ( $5/8 \ 1/2 \ 3/4$ )

№ сфера	$d_i$	$z_i$	$x_B y_B z_B (m_{\alpha i}, \text{тип узла } B)$			
			1	2	3	4
1	$\sqrt{4}/8$	2		$\frac{1}{4} 0 0 (2, D)$		
2	$\sqrt{5}/8$	4		$\frac{1}{8} \frac{1}{4} 0 (4, O)$		
3	$\sqrt{6}/8$	8		$\frac{1}{8} \frac{1}{8} - \frac{1}{4} (4, T);$	$\frac{1}{8} + \frac{1}{8} + \frac{1}{4} (4, D)$	

Таблица 2 (3) (продолжение)

№ сферы	$d_i$	$z_1$	$x_{B}y_{B}z_{B}$ ( $m_{\alpha i}$ , тип узла B)			
			1	2	3	4
4	$\sqrt{13}/8$	4	$\frac{3}{8} 0 \frac{1}{4} (4, O)$			
5	$\sqrt{14}/8$	16	$\frac{1}{8} \frac{3}{8} \frac{1}{4} (4, T); \quad \frac{3}{8} \frac{1}{4} \mp (4, T); \quad \frac{1}{8} \frac{3}{8} - \frac{1}{4} (4, D); \quad \frac{3}{8} \frac{1}{4} \pm \frac{1}{8} (4, D)$			
6	$\sqrt{16}/8$	6	$\frac{1}{2} 0 0 (2, T); \quad 0 0 \frac{1}{2} (4, D)$			
7	$\sqrt{20}/8$	8	$\frac{1}{4} 0 \frac{1}{2} (4, T); \quad \frac{1}{4} \frac{1}{2} 0 (4, T)$			
8	$\sqrt{21}/8$	8	$\frac{1}{8} \frac{1}{4} \frac{1}{2} (4, O); \quad \frac{1}{8} \frac{1}{4} - \frac{1}{2} (4, O)$			
9	$\sqrt{22}/8$	8	$\frac{3}{8} \frac{1}{4} \pm \frac{3}{8} (4, T); \quad \frac{3}{8} \frac{1}{4} \mp \frac{3}{8} (4, D)$			
10	$\sqrt{29}/8$	12	$\frac{5}{8} \frac{1}{4} 0 (4, O); \quad \frac{3}{8} \frac{1}{2} \frac{1}{4} (4, O); \quad \frac{3}{8} \frac{1}{2} - \frac{1}{4} (4, O)$			
11	$\sqrt{30}/8$	16	$\frac{5}{8} \frac{1}{8} \frac{1}{4} (4, T); \quad \frac{1}{8} \frac{5}{8} - \frac{1}{4} (4, T); \quad \frac{5}{8} \frac{1}{8} - \frac{1}{4} (4, D); \quad \frac{1}{8} \frac{5}{8} \frac{1}{4} (4, D)$			
12	$\sqrt{32}/8$	12	$0 \frac{1}{2} \frac{1}{2} (4, T); \quad \frac{1}{2} - \frac{1}{2} 0 (4, D); \quad \frac{1}{2} 0 \frac{1}{2} (4, D)$			
13	$\sqrt{36}/8$	10	$\frac{1}{4} \mp \frac{1}{2} \pm \frac{1}{2} (4, D); \quad \frac{1}{4} \frac{1}{2} \frac{1}{2} (4, D); \quad \frac{3}{4} 0 0 (2, D)$			
14	$\sqrt{37}/8$	4	$\frac{1}{8} \frac{3}{4} 0 (4, O)$			
15	$\sqrt{38}/8$	28	$\frac{5}{8} \frac{3}{8} - \frac{1}{4} (4, T); \quad \frac{3}{8} \frac{1}{4} \mp \frac{5}{8} (4, T); \quad \frac{1}{8} \frac{1}{8} \frac{3}{4} (4, T); \quad \frac{5}{8} \mp \frac{3}{8} \frac{1}{4} (4, D)$ $\frac{3}{4} \frac{1}{4} \pm \frac{5}{8} (4, D); \quad \frac{5}{8} \frac{3}{8} \frac{1}{4} (4, D); \quad \frac{1}{8} \mp \frac{1}{8} \pm \frac{3}{4} (4, D)$			
16	$\sqrt{45}/8$	12	$\frac{3}{8} 0 \frac{3}{4} (4, O); \quad \frac{5}{8} \frac{1}{4} \frac{1}{2} (4, O); \quad \frac{5}{8} \frac{1}{4} - \frac{1}{2} (4, O)$			
17	$\sqrt{46}/8$	16	$\frac{1}{8} \frac{3}{8} - \frac{3}{4} (4, T); \quad \frac{3}{8} \frac{3}{4} \pm \frac{1}{8} (4, T); \quad \frac{3}{8} \frac{3}{4} \mp \frac{1}{8} (4, D); \quad \frac{1}{8} \frac{3}{8} \frac{3}{4} (4, D)$			
18	$\sqrt{48}/8$	8	$\frac{1}{2} \frac{1}{2} \frac{1}{2} (4, T); \quad \frac{1}{2} \frac{1}{2} - \frac{1}{2} (4, T)$			
19	$\sqrt{52}/8$	8	$\frac{3}{4} 0 \frac{1}{2} (4, T); \quad \frac{3}{4} \frac{1}{2} 0 (4, T)$			
20	$\sqrt{53}/8$	12	$\frac{7}{8} 0 \frac{1}{4} (4, O); \quad \frac{1}{8} \frac{3}{4} \frac{1}{2} (4, O); \quad \frac{1}{8} \frac{3}{4} - \frac{1}{2} (4, O)$			
21	$\sqrt{54}/8$	32	$\frac{5}{8} \frac{5}{8} \frac{1}{4} (4, T); \quad \frac{7}{8} \frac{1}{4} \pm \frac{1}{8} (4, T); \quad \frac{1}{8} \frac{7}{8} \frac{1}{4} (4, T); \quad \frac{3}{8} \frac{3}{4} \mp \frac{3}{8} (4, T)$ $\frac{7}{8} \frac{1}{4} \mp \frac{1}{8} (4, D); \quad \frac{1}{8} \frac{7}{8} - \frac{1}{4} (4, D); \quad \frac{5}{8} \frac{5}{8} - \frac{1}{4} (4, D); \quad \frac{3}{8} \frac{3}{4} \pm \frac{3}{8} (4, D)$			
22	$\sqrt{61}/8$	12	$\frac{5}{8} \frac{3}{4} 0 (4, O); \quad \frac{3}{8} \frac{1}{2} \frac{3}{4} (4, O); \quad \frac{3}{8} \frac{1}{2} - \frac{3}{4} (4, O)$			
23	$\sqrt{62}/8$	32	$\frac{1}{8} \frac{5}{8} \frac{3}{4} (4, T); \quad \frac{5}{8} \frac{1}{8} - \frac{3}{4} (4, T); \quad \frac{7}{8} \frac{1}{4} \mp \frac{3}{8} (4, T); \quad \frac{3}{8} \frac{1}{4} \pm \frac{7}{8} (4, T)$ $\frac{7}{8} \frac{1}{4} \pm \frac{3}{8} (4, D); \quad \frac{3}{8} \frac{1}{4} \mp \frac{7}{8} (4, D); \quad \frac{5}{8} \frac{1}{8} \frac{3}{4} (4, D); \quad \frac{1}{8} \frac{5}{8} - \frac{3}{4} (4, D)$			
24	1	6	$100 (2, T); \quad 010 (4, T)$			

Таблица 4  
Пары примесных ионов в гранате и их симметрия

Порядок пары	$d_i$	Тип пары	$x_0y_0z_0$	$G_{kp}$	$G_k$	$G_0$	$G_A$	$G_B$
1	2	3	4	5	6	7	8	9
1	$\sqrt{4}/8$	Т-Д	$\frac{3}{4} \frac{1}{2} \frac{1}{4}$	$2_x$	$2_x$	$2_x$	$\bar{4}_x$	$2_x^2 y z^2 \bar{y} z$
2	$\sqrt{5}/8$	О-Т	$\frac{9}{16} \frac{1}{2} \frac{3}{8}$	1	1	1	$\bar{3}_{xyz}$	$\bar{4}_x$
		О-Д	$\frac{9}{16} \frac{1}{2} \frac{5}{8}$	1	1	1	$\bar{3}_{xyz}$	$2_x^2 y z^2 \bar{y} z$
3	$\sqrt{6}/8$	Т-Т (1)	$\frac{11}{16} \frac{9}{16} \frac{1}{8}$	$2_{\bar{x}y}$	$2_{\bar{x}y}$	1	$\bar{4}_x$	$\bar{4}_y$
		Т-Д	$\frac{11}{16} \frac{7}{16} \frac{1}{8}$	1	1	1	$\bar{4}_x$	$2_y^2 x z^2 \bar{x} z$
		Д-Д (1)	$\frac{11}{16} \frac{9}{16} \frac{5}{8}$	$2_{\bar{x}y}$	$2_{\bar{x}y}$	1	$2_x^2 y z^2 \bar{y} z$	$2_y^2 x z^2 \bar{x} z$
4	$\sqrt{12}/8$	О-О (1)	$\frac{5}{8} \frac{5}{8} \frac{5}{8}$	$3_{xyz}^2 \bar{x}y^2 \bar{x}z$	$3_{xyz}^2 \bar{x}y^2 \bar{x}z$	$3_{xyz}$	$\bar{3}_{xyz}$	$\bar{3}_{xyz}$
		О-О (1)	$\frac{5}{8} \frac{5}{8} \frac{3}{8}$	$2_{xz}$	$2_{xz}$	1	$\bar{3}_{xyz}$	$\bar{3}_{xyz}$
5	$\sqrt{13}/8$	О-Т	$\frac{11}{16} \frac{1}{2} \frac{5}{8}$	1	1	1	$\bar{3}_{xyz}$	$\bar{4}_x$
		О-Д	$\frac{11}{16} \frac{1}{2} \frac{3}{8}$	1	1	1	$\bar{3}_{xyz}$	$2_x^2 y z^2 \bar{y} z$
6	$\sqrt{14}/8$	Т-Т (2)	$\frac{11}{16} \frac{11}{16} \frac{3}{8}$	1	1	1	$\bar{4}_x$	$\bar{4}_y$
		Т-Д	$\frac{11}{16} \frac{11}{16} \frac{1}{8}$	1	1	1	$\bar{4}_x$	$2_y^2 x z^2 \bar{x} z$
		Д-Д (2)	$\frac{11}{16} \frac{11}{16} \frac{7}{8}$	1	1	1	$2_x^2 y z^2 \bar{y} z$	$2_y^2 x z^2 x z$

Таблица 4 (продолжение)

Порядок пары	$d_i$	Тип пары	$x_0y_0z_0$	$G_{kp}$	$G_k$	$G_0$	$G_A$	$G_B$
--------------	-------	----------	-------------	----------	-------	-------	-------	-------

Таблица 4 (продолжение)

Порядок пары	$d_i$	Тип пары	$x_0y_0z_0$	$G_{kp}$	$G_k$	$G_0$	$G_A$	$G_B$
1	2	3	4	5	6	7	8	9
7	$\sqrt{16}/8$	O—O (2)	$\frac{3}{4} \frac{1}{2} \frac{1}{2}$	$2_y$	$2_y$	1	$\bar{3}_{xyz}$	$\bar{3}_{x\bar{y}z}$
		T—T (3)	$\frac{7}{8} \frac{1}{2} \frac{1}{4}$	$2_x^2 y z^2 \bar{y} z$	$2_x^2 y z^2 \bar{y} z$	$2_x$	$\bar{4}_x$	$\bar{4}_x$
		T—Д	$\frac{5}{8} \frac{1}{2} \frac{1}{2}$	1	1	1	$\bar{4}_x$	$2_x^2 y z^2 \bar{y} z$
		Д—Д (3)	$\frac{7}{8} \frac{1}{2} \frac{3}{4}$	$\bar{4}_x$	$\bar{4}_x$	$2_x$	$2_x^2 y z^2 \bar{y} z$	$2_x^2 y z^2 \bar{y} z$
8	$\sqrt{20}/8$	T—T (4)	$\frac{3}{4} \frac{1}{2} \frac{1}{2}$	$2_y$	$2_y$	1	$\bar{4}_x$	$\bar{4}_x$
		T—T (4)	$\frac{3}{4} \frac{3}{4} \frac{1}{4}$	$\bar{3}_{xyz}$	1	1	$\bar{4}_x$	$\bar{4}_x$
		Д—Д (4)	$\frac{3}{4} \frac{1}{2} 0$	$2_y$	$2_y$	1	$2_x^2 y z^2 \bar{y} z$	$2_x^2 y z^2 \bar{y} z$
		Д—Д (4)	$\frac{3}{4} \frac{3}{4} \frac{3}{4}$	$\bar{3}_{xyz}$	1	1	$2_x^2 y z^2 \bar{y} z$	$2_x^2 y z^2 \bar{y} z$
...	...	...	...	...	...	...	...	...
...	...	...	...	...	...	...	...	...
10	$\sqrt{22}/8$	T—T (5)	$\frac{13}{16} \frac{5}{8} \frac{7}{16}$	$2_{xz}$	$2_{xz}$	1	$\bar{4}_x$	$\bar{4}_x$
		Д—Д (5)	$\frac{13}{16} \frac{5}{8} \frac{9}{16}$	$2_{xz}$	$2_{xz}$	1	$2_x^2 y z^2 \bar{y} z$	$2_z^2 x y^2 x y$
...	...	...	...	...	...	...	...	...
13	$\sqrt{32}/8$	O—O (3)	$\frac{3}{4} \frac{3}{4} \frac{1}{2}$	$2_y$	1	1	$\bar{3}_{xyz}$	$\bar{3}_{x\bar{y}z}$

Таблица 4 (продолжение)

Порядок пары	$d_i$	Тип пары	$x_0y_0z_0$	$G_{kp}$	$G_k$	$G_0$	$G_A$	$G_B$
1	2	3	4	5	6	7	8	9
...	...	...	...	...	...	...	...	...
17	$\sqrt{44}/8$	O—O (4)	$\frac{7}{8} \frac{5}{8} \frac{5}{8}$	$2_{xz}$	1	1	$\bar{3}_{xyz}$	$\bar{3}_{xyz}$
		O—O (4)	$\frac{7}{8} \frac{3}{8} \frac{3}{8}$	$2_{yz}$	$2_{yz}$	1	$\bar{3}_{xyz}$	$\bar{3}_{xyz}$
		O—O (4)	$\frac{7}{8} \frac{5}{8} \frac{3}{8}$	$3_{xy} 2_{yz} 2_{xy}$	$2_{yz}$	1	$\bar{3}_{xyz}$	$\bar{3}_{xyz}$
...	...	...	...	...	...	...	...	...
20	$\sqrt{48}/8$	O—O (5)	$\frac{3}{4} \frac{3}{4} \frac{3}{4}$	$3_{xyz}$	$3_{xyz}$	3	$\bar{3}_{xyz}$	$\bar{3}_{xyz}$
		O—O (5)	$\frac{3}{4} \frac{1}{4} \frac{1}{4}$	$3_{xyz}$	1	1	$\bar{3}_{xyz}$	$\bar{3}_{xyz}$

Таблица 5

Разрешенные термы примесных пар типа O—O в гранате

№ пары (слоя)	$G_0$	Одинаковые состояния				$G_0$	Разные состояния					$g \rightarrow u$	Диаграммы индуцирования $G_0 \rightarrow G_k$	
		$\Gamma_{1g},$ $\Gamma_{1g}$	$\Gamma_{2g}, \Gamma_{2g}$	$\Gamma_{45g}, \Gamma_{45g}$	$\Gamma_{66g}, \Gamma_{66g}$		$\Gamma_{1g},$ $\Gamma_{2g}$	$\Gamma_{1g},$ $\Gamma_{45g}$	$\Gamma_{1g},$ $\Gamma_{66g}$	$\Gamma_{23g},$ $\Gamma_{45g}$	$\Gamma_{23g},$ $\Gamma_{66g}$			
4 (1)	322	$\Gamma_1$	$2\Gamma_1 + \Gamma_3$	$2\Gamma_1 + \Gamma_3$	$3\Gamma_1 + \Gamma_2$	3	$\gamma_{23}$	$\gamma_{45}$	$\gamma_{66}$	$\gamma_{45} + \gamma_{66}$	$2\gamma_{45}$	$2\gamma_{23}$	—	$\gamma_1 \begin{cases} \Gamma_1 \\ \Gamma_2 \end{cases}, \quad \gamma_{23} \begin{cases} \Gamma_3 \\ \Gamma_3 \end{cases}, \quad \gamma_{45} \begin{cases} \Gamma_4 \\ \Gamma_4 \end{cases}, \quad \gamma_{66} \begin{cases} \Gamma_{56} \\ \Gamma_{56} \end{cases}$
$\frac{4}{7}(2)$ 17 (2, 3)	2	$\Gamma_1$	$3\Gamma_1 + \Gamma_2$	$3\Gamma_1 + \Gamma_2$	$3\Gamma_1 + \Gamma_2$	1	$2\gamma_1$	$\gamma_{22}$	$\gamma_{22}$	$2\gamma_{22}$	$2\gamma_{22}$	$4\gamma_1$	—	$\gamma_1 \begin{cases} \Gamma_1 \\ \Gamma_2 \end{cases}, \quad \gamma_{22} \begin{cases} \Gamma_{34} \\ \Gamma_{34} \end{cases}$
13 17 (1)	1	$\Gamma_1$	$4\Gamma_1$	$4\Gamma_1$	$4\Gamma_1$	(тип α)	$2\gamma_1$	$\gamma_{22}$	$\gamma_{22}$	$2\gamma_{22}$	$2\gamma_{22}$	$4\gamma_1$	—	$\gamma_1 \begin{cases} \Gamma_1 \\ \Gamma_1 \end{cases}, \quad \Gamma_{22} \begin{cases} \Gamma_{22} \\ \Gamma_{22} \end{cases}$
20 (1)	$\bar{3}$	$\Gamma_{1g}$	$\Gamma_{1g} + \Gamma_{23g} + \Gamma_{1u}$	$\Gamma_{1g} + \Gamma_{1u} + \Gamma_{23u}$	$\Gamma_{1g} + 3\Gamma_{1u}$	3	$\gamma_{23}$	$\gamma_{45}$	$\gamma_{66}$	$\gamma_{45} + \gamma_{66}$	$2\gamma_{45}$	$2\gamma_{23}$	—	$\gamma_1 \begin{cases} \Gamma_{1g} \\ \Gamma_{1u} \end{cases}, \quad \gamma_{23} \begin{cases} \Gamma_{23g} \\ \Gamma_{23u} \end{cases}, \quad \gamma_{45} \begin{cases} \Gamma_{45g} \\ \Gamma_{45u} \end{cases}, \quad \gamma_{66} \begin{cases} \Gamma_{66g} \\ \Gamma_{66u} \end{cases}$
20 (2)	$\bar{1}$	$\Gamma_1^+$	$3\Gamma_1^+ + \Gamma_1^-$	$\Gamma_1^+ + \Gamma_1^-$	$\Gamma_1^+ + 3\Gamma_1^-$	1	$2\gamma_1$	$\gamma_{22}$	$\gamma_{22}$	$2\gamma_{22}$	$2\gamma_{22}$	$4\gamma_1$	—	$\gamma_1 \begin{cases} \Gamma_1^+ \\ \Gamma_1^- \end{cases}, \quad \gamma_{22} \begin{cases} \Gamma_{22}^+ \\ \Gamma_{22}^- \end{cases}$

Таблица 6

Разрешенные термы примесных пар типа Т—Т в гранате

Таблица 6  
Разрешенные термы примесных пар типа Т—Т в гранате

№ пары (слоя)	$G_E$	Одинарные состояния			$G_0$	Разные состояния			$\frac{1}{56} \rightarrow \frac{2}{78}$	Диаграммы индуцирования $G_0 \rightarrow G_E$
		$\Gamma_1, \Gamma_1$	$\Gamma_{34}, \Gamma_{34}$	$\Gamma_{56}, \Gamma_{56}$		$\Gamma_1, \Gamma_{34}$	$\Gamma_1, \Gamma_{56}$	$\Gamma_{34}, \Gamma_{56}$		
3 (1) 8 (1) 10 (1)	2	$\Gamma_1$	$3\Gamma_1 + \Gamma_2$	$3\Gamma_1 + \Gamma_2$	1	$2\gamma_1$	$\gamma_{22}$	$2\gamma_{22}$	—	$\gamma_1 \begin{cases} \Gamma_1 \\ \Gamma_2 \end{cases}, \quad \gamma_{22} \begin{cases} \Gamma_{34} \\ \Gamma_{34} \end{cases}$
6 (1)	1	$\Gamma_1$	$4\Gamma_1$	$4\Gamma_1$	1 (тип α)	$2\gamma_1$	$\gamma_{22}$	$2\gamma_{22}$	—	$\gamma_1 \begin{cases} \Gamma_1 \\ \Gamma_1 \end{cases}, \quad \gamma_{22} \begin{cases} \Gamma_{22} \\ \Gamma_{22} \end{cases}$
7 (2)	222	$\Gamma_1$	$3\Gamma_1 + \Gamma_3$	$2\Gamma_1 + \Gamma_2 + \Gamma_4$	2	$2\gamma_2$	$\gamma_{34}$	$2\gamma_{34}$	—	$\gamma_1 \begin{cases} \Gamma_1 \\ \Gamma_3 \end{cases}, \quad \gamma_2 \begin{cases} \Gamma_2 \\ \Gamma_4 \end{cases}, \quad \gamma_{34} \begin{cases} \Gamma_5 \\ \Gamma_5 \end{cases}$
8 (2)	1	$\Gamma_1^+$	$3\Gamma_1^+ + \Gamma_1^-$	$\Gamma_1^+ + 3\Gamma_1^-$	1	$2\gamma_1$	$\gamma_{22}$	$2\gamma_{22}$	—	$\gamma_1 \begin{cases} \Gamma_1^+ \\ \Gamma_1^- \end{cases}, \quad \gamma_{22} \begin{cases} \Gamma_{22}^+ \\ \Gamma_{22}^- \end{cases}$

Таблица 7  
Разрешенные термы примесных пар типа Д—Д в гранате

№ пары (слоя)	$G_E$	Одинарные состояния		$G_0$	Разные состояния		$\frac{1}{\Gamma_1, \Gamma_5} \rightarrow \frac{2}{\Gamma_1, \Gamma_5}$	$\frac{1}{\Gamma_1, \Gamma_5} \rightarrow \frac{3}{\Gamma_1, \Gamma_5}$	$\frac{1}{\Gamma_1, \Gamma_5} \rightarrow \frac{4}{\Gamma_1, \Gamma_5}$	Диаграммы индуцирования $G_0 \rightarrow G_E$
		$\Gamma_1, \Gamma_1$	$\Gamma_5, \Gamma_5$		$\Gamma_1, \Gamma_5$	$\Gamma_1 \leftrightarrow \Gamma_2$				
3 (3) 8 (3) 10 (3)	2	$\Gamma_1$	$3\Gamma_1 + \Gamma_2$	1	$\gamma_{22}$	—	—	—	—	$\gamma_1 \begin{cases} \Gamma_1 \\ \Gamma_2 \end{cases}, \quad \gamma_{22} \begin{cases} \Gamma_{34} \\ \Gamma_{34} \end{cases}$
6 (3)	1	$\Gamma_1$	$4\Gamma_1$	4 (тип α)	$\gamma_{22}$	—	—	—	—	$\gamma_1 \begin{cases} \Gamma_1 \\ \Gamma_1 \end{cases}, \quad \gamma_{22} \begin{cases} \Gamma_{22} \\ \Gamma_{22} \end{cases}$
7 (4)	4	$\Gamma_1$	$\Gamma_1 + \Gamma_2 + \Gamma_{34}$	2	$\gamma_{34}$	$\gamma_1 \leftrightarrow \gamma_2$	$\gamma_1 \leftrightarrow \gamma_2$	—	—	$\gamma_1 \begin{cases} \Gamma_1 \\ \Gamma_2 \end{cases}, \quad \gamma_2 \begin{cases} \Gamma_{34} \\ \Gamma_{34} \end{cases}, \quad \gamma_{34} \begin{cases} \Gamma_{56} \\ \Gamma_{78} \end{cases}$
8 (4)	1	$\Gamma_1^+$	$\Gamma_1^+ + 3\Gamma_1^-$	1	$\gamma_{22}$	—	—	—	—	$\gamma_1 \begin{cases} \Gamma_1^+ \\ \Gamma_1^- \end{cases}, \quad \gamma_{22} \begin{cases} \Gamma_{22}^+ \\ \Gamma_{22}^- \end{cases}$

Таблица 8

Разрешенные термы примесных пар типа О—Т в гранате

№ пары (слоя)	$G_E = G_0$	$\Gamma_1g, \Gamma_1$	$\Gamma_1g, \Gamma_{34}$	$\Gamma_1g, \Gamma_{56}$	$\Gamma_{23}g, \Gamma_1$	$\Gamma_{23}g, \Gamma_{34}$	$\Gamma_{23}g, \Gamma_{56}$	$\Gamma_{45}g, \Gamma_1$	$\Gamma_{45}g, \Gamma_{34}$	$\Gamma_{45}g, \Gamma_{56}$	$\Gamma_{66}g, \Gamma_1$	$\Gamma_{66}g, \Gamma_{34}$	$\Gamma_{66}g, \Gamma_{56}$	$g \rightarrow u$ слева $1 \rightarrow 2, 56 \rightarrow 78$ справа
2 (1)														—
5 (1)	1 (тип $\alpha$ )	$\gamma_1$	$2\gamma_1$	$\gamma_{22}$	$2\gamma_1$	$4\gamma_1$	$2\gamma_{22}$	$\gamma_{22}$	$2\gamma_{22}$	$4\gamma_1$	$\gamma_{22}$	$2\gamma_{22}$	$4\gamma_1$	—

Таблица 9

Разрешенные термы примесных пар типа О—Д в гранате

№ пары (слоя)	$G_E = G_0$	$\Gamma_1g, \Gamma_1$	$\Gamma_1g, \Gamma_5$	$\Gamma_{23}g, \Gamma_1$	$\Gamma_{23}g, \Gamma_5$	$\Gamma_{45}g, \Gamma_1$	$\Gamma_{45}g, \Gamma_5$	$\Gamma_{66}g, \Gamma_1$	$\Gamma_{66}g, \Gamma_5$	$g \rightarrow u$ слева $1 \rightarrow 2, 4 \rightarrow 3, 1 \rightarrow 4$ справа
2 (2)										—
5 (2)	1 (тип $\alpha$ )	$\gamma_1$	$\gamma_{22}$	$2\gamma_1$	$2\gamma_{22}$	$\gamma_{22}$	$4\gamma_1$	$\gamma_{22}$	$4\gamma_1$	—

Таблица 10

Разрешенные термы примесных пар типа Т—Д в гранате

№ пары (слоя)	$G_E = G_0$	$\Gamma_1, \Gamma_1$	$\Gamma_1, \Gamma_5$	$\Gamma_{34}, \Gamma_1$	$\Gamma_{34}, \Gamma_5$	$\Gamma_{56}, \Gamma_1$	$\Gamma_{56}, \Gamma_5$	$1 \rightarrow 2, 56 \rightarrow 78$ слева $1 \rightarrow 4$ справа	$1 \rightarrow 2, 1 \rightarrow 3$ справа
1	2	$\gamma_1$	$\gamma_{34}$	$2\gamma_2$	$2\gamma_{34}$	$\gamma_{34}$	$2\gamma_1 + 2\gamma_2$	—	$\gamma_1 \leftrightarrow \gamma_2$
3 (2)								—	—
6 (2)									
7 (3)	1 (тип $\alpha$ )	$\gamma_1$	$\gamma_{22}$	$2\gamma_1$	$2\gamma_{22}$	$\gamma_{22}$	$4\gamma_1$		

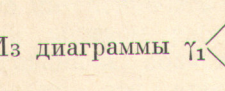
это  $\Gamma_2^2, \Gamma_3^2$ ,  
 $(S=0, 2),$   
 $(S=1, 3).$   
 Как видим, различные  
 пары определяют одни  
 и те же обстоятельства  
 для образования трех кристи-

[1] Б. А. М.  
 [2] В. Е. Н.

ленине. Их  
 $\Gamma_2^2 + \Gamma_3^2$   
 $= 3\Gamma_1 + \Gamma_5$   
 $(S=1, 3).$   
 Как видим, различные  
 пары определяют одни  
 и те же обстоятельства  
 для образования трех кристи-

это  $\Gamma_2$ ,  $\Gamma_3$ . Приписываем  $\Gamma^I = 2\Gamma_1 + \Gamma_3$  все четные значения полного спина ( $S = 0, 2$ ), а  $\Gamma^{II} = 2\Gamma_2 + \Gamma_3$  — все нечетные ( $S = 1, 3$ ). Полный набор термов  $2^1\Gamma_1$ ,  $2^5\Gamma_1$ ,  $2^8\Gamma_2$ ,  $2^7\Gamma_2$ ,  $1\Gamma_3$ ,  $3\Gamma_3$ ,  $5\Gamma_3$ ,  $7\Gamma_3$ .

2.  $\text{Cr}^{3+}$ — $\text{Cr}^{3+}$ . Оба иона находятся в состоянии  ${}^4\Gamma_{2g}$ . Группа симметрии пары  $G_e = 2$ . Согласно [2], это ситуация β, случай 1. Ищем  $\Gamma^I$  и  $\Gamma^{II}$ . Получим  $\Gamma^I = 3\Gamma_1 + \Gamma_2$ . Для нахождения  $\Gamma^{II}$  ищем сопряженное представление.

Из диаграммы  видно, что  $\Gamma^{II} = \Gamma_1 + 3\Gamma_2$ . Приписываем  $\Gamma^I = 3\Gamma_1 + \Gamma_2$  четные значения спина ( $S = 0, 2$ ), а  $\Gamma^{II} = \Gamma_1 + 3\Gamma_2$  — нечетные ( $S = 1, 3$ ). Полный набор термов  $3^1\Gamma_1$ ,  $3^5\Gamma_1$ ,  $1\Gamma_2$ ,  $5\Gamma_2$ ,  $3\Gamma_1$ ,  $7\Gamma_1$ ,  $3^3\Gamma_2$ ,  $3^7\Gamma_2$ .

Как видно из сравнения наборов термов, получились существенно различные результаты. Таким образом, порядок пары часто еще не определяет однозначно ее симметрию и ее разрешенные термы. Это важное обстоятельство должно учитываться при расшифровке спектров примесных кристаллов.

#### Литература

- [1] Б. А. Мень, В. Е. Найш, А. Н. Мень. Кристаллография, 19, 916, 1974.  
[2] В. Е. Найш, Б. А. Мень, А. Н. Мень. Опт. и спектр., 39, 909, 1975.

Поступило в Редакцию 5 ноября 1974 г.